

数字滤波器设计

7. 数字滤波器设计

7.1 数字滤波器设计的整体考虑

7.1.0 理想滤波器的频率响应

7.1.1 因果性及其含义

7.1.2 实际选频滤波器的特性

7.1.3 线性相位FIR滤波器

7.2 FIR滤波器设计

7.2.1 窗函数法

7.2.2 频率采样法

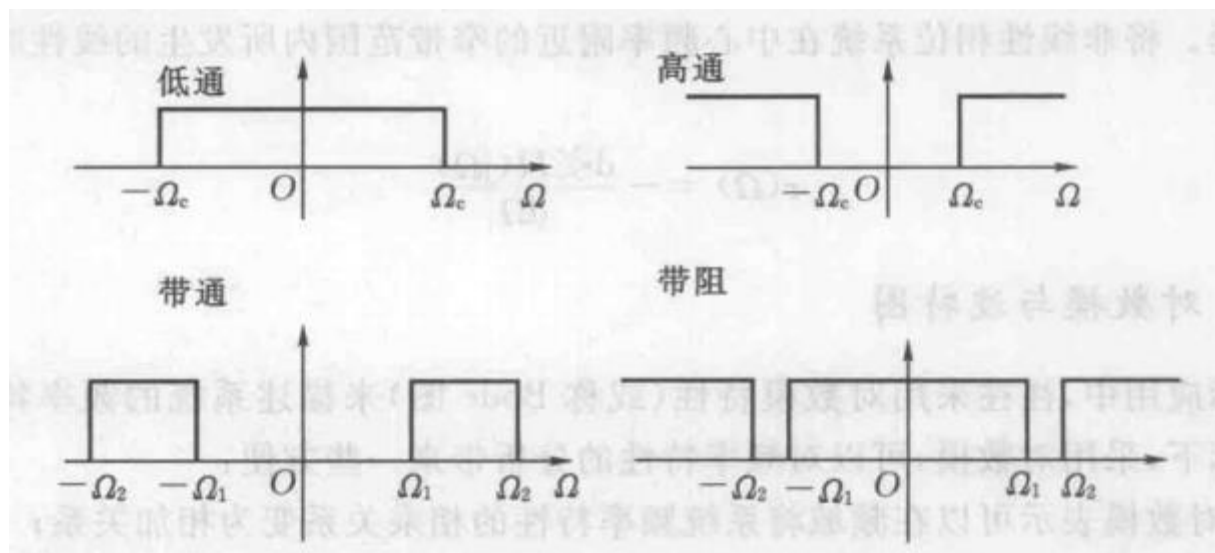
7.3 基于FFT的信号滤波

7.1 数字滤波器设计的整体考虑

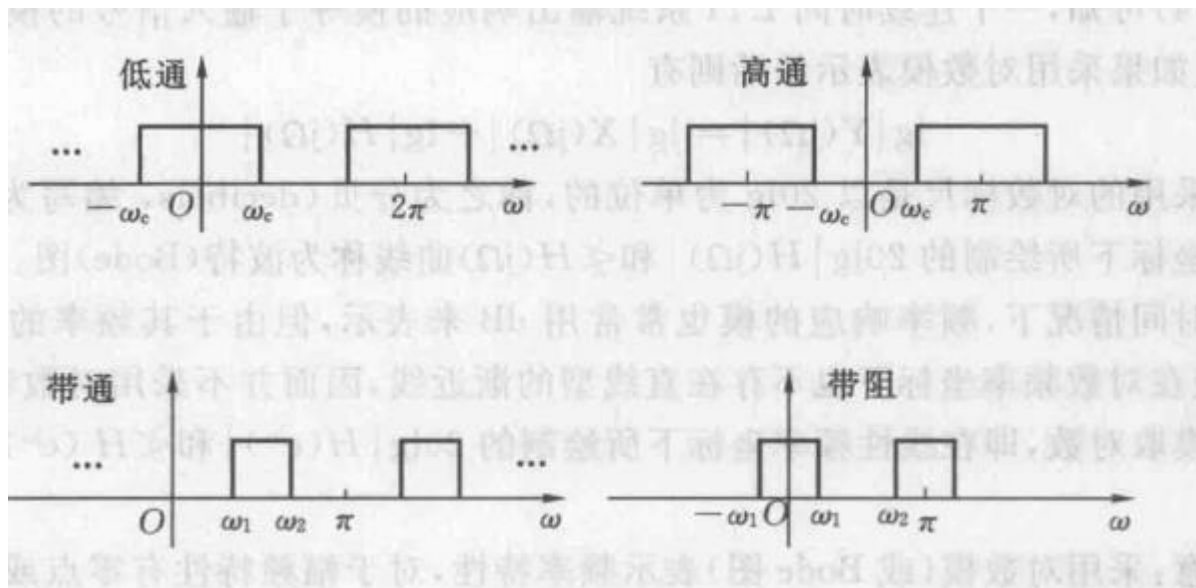
7.1.0 理想滤波器的频率响应

理想滤波器的频率响应在某一个或某几个频段内为常数，而在其它频段内为零。

理想连续滤波器的频率响应特性：



理想离散滤波器的频率特性:



理想滤波器的相位特性假定为零。因此，这些滤波器只对信号的各频率分量的幅度起作用，属于**频率选择性滤波器**。

信号传输不失真条件：如果理想滤波器的相位特性不为零，即使信号频谱全部位于滤波器通带内，也会在信号通过滤波器时产生相位失真。

但是，当滤波器具有线性相位特性时，这种相位失真不会使原信号包含的信息发生改变，而只会引起信号的延时。

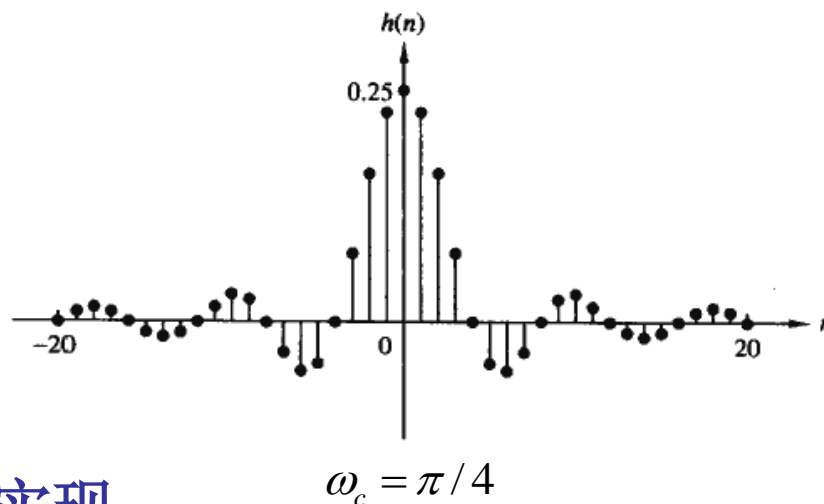
7.1.1 因果性及其含义

理想离散低通滤波器的频率响应特性：

$$H(\omega) = \begin{cases} 1, & |\omega| \leq \omega_c \\ 0, & \omega_c < |\omega| \leq \pi \end{cases}$$

该滤波器的单位脉冲响应为：

$$h(n) = \begin{cases} \frac{\omega_c}{\pi}, & n = 0 \\ \frac{\omega_c}{\pi} \frac{\sin \omega_c n}{\omega_c n}, & n \neq 0 \end{cases}$$



该滤波器非因果，物理上不可实现。

问题：为了使滤波器是因果的，频率响应特性 $H(\omega)$ 需要满足什么条件？

Paley-Wiener 定理: 物理可实现滤波器频率响应的必要条件

如果 $h(n)$ 能量有限并且当 $n < 0$ 时 $h(n) = 0$, 则有

$$\int_{-\pi}^{\pi} \left| \ln |H(e^{j\omega})| \right| d\omega < \infty$$

反之, 如果 $|H(e^{j\omega})|^2$ 平方可积, 且 $\int_{-\pi}^{\pi} \left| \ln |H(e^{j\omega})| \right| d\omega < \infty$,

那么, 滤波器是因果的, 其频率响应为: $H(e^{j\omega}) = H(\omega)e^{j\phi(\omega)}$

重要结论:

在一些频率点, $H(\omega)$ 可以是零, 但是在任何有限频带上 $H(\omega)$ 不为零, 否则积分将变成无限的。

因此, 任何理想滤波器都是非因果的。

显而易见, 因果性将一些严格的约束加到了线性时不变系统上。除了**Paley-Wiener** 条件外, 因果系统也意味着频率响应 $H(e^{j\omega})$ 的**实部** $H_R(e^{j\omega})$ 和**虚部** $H_I(e^{j\omega})$ 存在密切的关系。

$$h_e(n) = \frac{1}{2}[h(n) + h(-n)], \quad 0 \leq n \leq \infty$$

$$h(n) = h_e(n) + h_o(n)$$

$$h_o(n) = \frac{1}{2}[h(n) - h(-n)], \quad 1 \leq n \leq \infty$$

如果 $h(n)$ 是因果的， $h(n)$ 可以从其偶序列 $h_e(n)$ 或奇序列 $h_o(n)$ 恢复。

$$h(n) = 2h_e(n)u(n) - h_e(0)\delta(n), \quad n \geq 0$$

$$h(n) = 2h_o(n)u(n) + h_o(0)\delta(n), \quad n \geq 1$$

由于 $h_o(0) = 0$ ，故无法从 $h_o(n)$ 恢复出 $h(0)$ ，所以必须知道 $h(0)$ 。

但是， $n \geq 1$ ， $h_e(n) = h_o(n)$ ，故 $h_e(n)$ 和 $h_o(n)$ 存在密切关系。

如果 $h(n)$ 是绝对可和的， $H(e^{j\omega}) = H_R(\omega) + jH_I(\omega)$

如果 $h(n)$ 是实值的，且是因果的， $h_e(n) \xrightarrow{F} H_R(\omega)$ $h_o(n) \xrightarrow{F} H_I(\omega)$

$$H(e^{j\omega}) = H_R(\omega) + jH_I(\omega) = \frac{1}{\pi} \int_{-\pi}^{\pi} H_R(\lambda) U(\omega - \lambda) d\lambda - h_e(0) \quad (1)$$

$$U(e^{j\omega}) = \pi\delta(\omega) + \frac{1}{1 - e^{-j\omega}} = \pi\delta(\omega) + \frac{1}{2} - j\frac{1}{2}\cos\frac{\omega}{2}, \quad -\pi \leq \omega \leq \pi \quad (2)$$

将(2)代入(1)，可得：

$$H_I(\omega) = -\frac{1}{2\pi} \int_{-\pi}^{\pi} H_R(\lambda) \cos \frac{\omega - \lambda}{2} d\lambda$$

离散希尔伯特变换

$$H_R(\omega) = \frac{1}{2\pi} \int_{-\pi}^{\pi} H_I(\lambda) \cos \frac{\omega - \lambda}{2} d\lambda$$

结论：如果系统是因果的， $H_R(\omega)$ 和 $H_I(\omega)$ 是相互依存的，不能单独被确定。也就是说，因果系统的幅度响应和相位响应是相互依存的，不能单独被确定。

因果性在选频滤波器设计方面具有非常重要的含义：

- (1) 频率响应除了在频域有限点集外，不能为零；
- (2) 幅度响应在任何有限频率区间内不能是常数，并且从通带向阻带的过渡不能是突变的；（Gibbs现象的结果）
- (3) 频率响应的实部和虚部互相依存并通过希尔伯特变换联系起来，**因此不能随意选择频率响应的幅度和相位。**

线性时不变系统:

$$y(n) = -\sum_{k=1}^N a_k y(n-k) + \sum_{k=0}^M b_k (n-k)$$

该系统是因果的并且是物理上可实现的。

该系统的频率响应:

$$H(e^{j\omega}) = \frac{\sum_{k=0}^M b_k e^{-j\omega k}}{1 + \sum_{k=1}^N a_k e^{-j\omega k}}$$

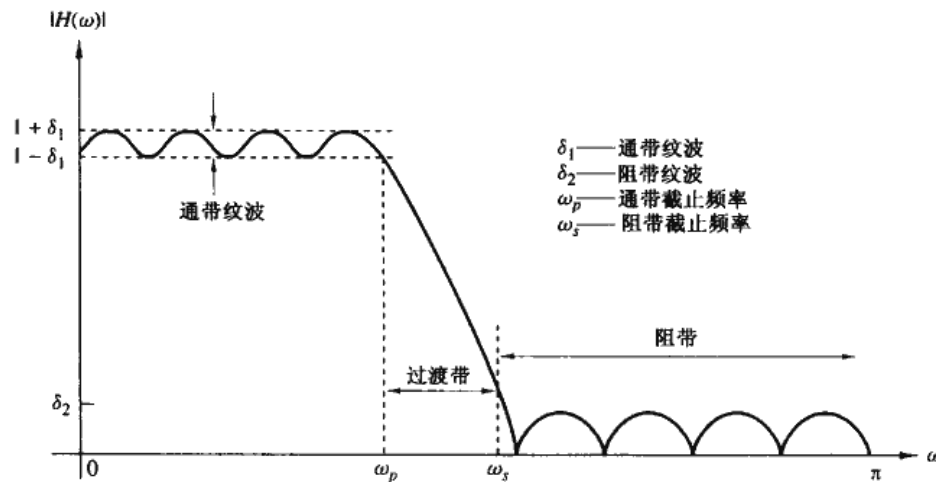
数字滤波器的设计的基本问题:

通过适当地选择系数 $\{a_k\}$ 、 $\{b_k\}$ 来逼近任何理想频率响应特性。

如果 a_k 不全为零, 则系统是一个IIR数字滤波器。

如果 a_k 全部为零, 则系统是一个FIR数字滤波器。

7.1.2 实际选频滤波器的特性



在任何滤波器设计问题中，可以规定技术指标：

- (1) 最大允许的通带纹波： $20\lg \delta_1\text{dB}$
- (2) 最大允许的阻带纹波： $20\lg \delta_2\text{dB}$
- (3) 通带截止频率： ω_p
- (4) 阻带截止频率： ω_s

$H(e^{j\omega})$ 逼近技术指标的程度取决于滤波器系数的个数 (M, N) 之外，还部分取决于滤波器系数 $\{a_k\}$ 、 $\{b_k\}$ 的选取准则。

无限长脉冲响应滤波器：IIR

IIR滤波器的设计，通常是先设计一个**模拟滤波器**，再按一定的规则将模拟滤波器的系统函数 $H(s)$ 转变成数字滤波器的系统函数 $H(z)$ 。这样做的好处在于能够利用完善的模拟滤波器的设计理论、方法及丰富的图表资料。

IIR滤波器由于继承了模拟滤波器设计的成果，因而可以很简单、有效地完成其设计。但是，**IIR滤波器的相位特性不好控制**。即使模拟滤波器具有线性相位特性，由于设计过程中存在频率响应的非线性变换，设计的数字滤波器也不会再保持线性相位特性。**然而在涉及如图像处理、数据传输等波形传输的系统中，越来越多地要求信道或系统具有线性相位特性，因此IIR系统不适用于这些场合。**

有限长脉冲响应滤波器：FIR

FIR滤波器可以在幅频特性任意设计的同时，始终保持严格、精确的**线性相位特性**。由于**FIR**系统具有有限长的单位脉冲响应，因而这种系统永远是稳定的。当然，**FIR**系统也没有因果性的困难。任何非因果的有限长序列，经过足够延时后，总能成为一个因果序列，从而可以在非实时处理的情况下，用一个因果系统去实现。

由于**FIR**系统通常采用非递归结构，在有限精度运算下，不会出现极限环振荡等不稳定现象，其运算误差也较小。在用软件实现**FIR**系统时，还可以通过**FFT**算法在频域处理信号。正是由于这些特点，**FIR**滤波器越来越引起人们的关注，也得到越来越广泛的应用。

7.1.3 线性相位FIR滤波器

以 $x(n)$ 为输入、 $y(n)$ 为输出的长度为 N 的FIR滤波器:

$$y(n) = b_0x(n) + b_1x(n-1) + \cdots + b_{N-1}x(n-N+1)$$

$$= \sum_{k=0}^{N-1} b_k x(n-k) \quad \{b_k\} \text{ 是滤波器系数的集合}$$

$$y(n) = \sum_{k=0}^{N-1} h(k)x(n-k) \quad b_k = h(k), \quad k = 0, 1, \dots, N-1$$

$$H(z) = \sum_{k=0}^{N-1} h(k)z^{-k} \quad H(z) \text{ 为滤波器的系统函数}$$

如果FIR滤波器的单位脉冲响应 $h(n)$ 是实序列，且满足偶对称或奇对称，即：

$$h(n) = \pm h(N-1-n), \quad n = 0, 1, \dots, N-1$$

则该FIR滤波器具有严格的线性相位特性。

$$\begin{aligned}
 H(z) &= \sum_{k=0}^{N-1} h(k) z^{-k} = \pm \sum_{k=0}^{N-1} h(N-1-k) z^{-k} \\
 &= \pm \sum_{m=0}^{N-1} h(m) z^m z^{-(N-1)} = \pm z^{-(N-1)} H(z^{-1})
 \end{aligned}$$

(a) $h(n) = h(N-1-n)$, 即 $h(n)$ 关于 $n = \frac{N-1}{2}$ 呈偶对称情况:

$$\begin{aligned}
 H(z) &= \frac{1}{2} [H(z) + z^{-(N-1)} H(z^{-1})] \\
 &= \frac{1}{2} \sum_{k=0}^{N-1} h(k) [z^{-k} + z^{-(N-1)} z^k] \\
 &= \frac{1}{2} z^{-(N-1)/2} \sum_{k=0}^{N-1} h(k) [z^{-(k-(N-1)/2)} + z^{+(k-(N-1)/2)}] \quad (z = e^{j\omega})
 \end{aligned}$$

$$H(e^{j\omega}) = \frac{1}{2} e^{-j\frac{N-1}{2}\omega} \sum_{k=0}^{N-1} 2h(k) \cos\left[\left(k - \frac{N-1}{2}\right)\omega\right] = H(\omega) e^{j\varphi(\omega)}$$

$$H(\omega) = \sum_{k=0}^{N-1} h(k) \cos\left[\left(k - \frac{N-1}{2}\right)\omega\right]$$

$$\varphi(\omega) = -\frac{N-1}{2} \omega$$

(b) $h(n) = -h(N-1-n)$, 即 $h(n)$ 关于 $n = \frac{N-1}{2}$ 呈奇对称情况:

$$H(e^{j\omega}) = -je^{-j\frac{N-1}{2}\omega} \sum_{k=0}^{N-1} h(k) \sin\left[\left(k - \frac{N-1}{2}\right)\omega\right] = H(\omega)e^{j\varphi(\omega)}$$

$$H(\omega) = \sum_{k=0}^{N-1} h(k) \sin\left[\left(k - \frac{N-1}{2}\right)\omega\right]$$

$$\varphi(\omega) = -\frac{\pi}{2} - \frac{N-1}{2}\omega$$

很明显, 这两类**FIR**滤波器都具有严格的线性相位特性, 且相位特性不受 $h(n)$ 各点的影响。

因此, 这类滤波器可以在始终保持严格线性相位的情况下, 根据需要独立地设计其幅频特性, 从而实现幅频特性与相频特性的兼容。

这是**FIR**滤波器最诱人的优点。

考虑到 $h(n)$ 长度 N 为奇数或偶数，FIR 可分为以下四种情况：

(1) 偶对称： $h(n) = h(N-1-n)$ ， N 为奇数

$h(n)$ 关于 $n = \frac{N-1}{2}$ 呈偶对称，且 $h(\frac{N-1}{2})$ 是 $h(n)$ 中的一个点。

(2) 偶对称： $h(n) = h(N-1-n)$ ， N 为偶数

$h(n)$ 关于 $n = \frac{N-1}{2}$ 呈偶对称，但 $(\frac{N-1}{2})$ 不对应 $h(n)$ 中的一个点。

(3) 奇对称： $h(n) = -h(N-1-n)$ ， N 为奇数

$h(n)$ 关于 $n = \frac{N-1}{2}$ 呈奇对称， $h(\frac{N-1}{2}) = 0$ ，且是 $h(n)$ 中的一个点。

(4) 奇对称： $h(n) = -h(N-1-n)$ ， N 为偶数

$h(n)$ 关于 $n = \frac{N-1}{2}$ 呈奇对称， $(\frac{N-1}{2})$ 不对应 $h(n)$ 中的一个点。

四种线性相位FIR滤波器的幅频特性:

(1)偶对称: $h(n) = h(N-1-n)$, N 为奇数

$$\begin{aligned} H(\omega) &= \sum_{k=0}^{N-1} h(k) \cos \left[\left(k - \frac{N-1}{2} \right) \omega \right] \\ &\stackrel{N-1-k \text{ 替代 } k}{=} \sum_{k=0}^{N-1} h(N-1-k) \cos \left[\left(\frac{N-1}{2} - k \right) \omega \right] = \sum_{k=0}^{N-1} h(k) \cos \left[\left(k - \frac{N-1}{2} \right) (-\omega) \right] = H(-\omega) \end{aligned}$$

$h(k)$ 关于 $k = \frac{N-1}{2}$ 呈偶对称, $\cos(k - \frac{N-1}{2})$ 也是关于 $k = \frac{N-1}{2}$ 偶对称。

$$\begin{aligned} H(\omega) &= h\left(\frac{N-1}{2}\right) + 2 \sum_{k=(N+1)/2}^{N-1} h(k) \cos \left[\left(k - \frac{N-1}{2} \right) \omega \right] \\ &\stackrel{m=k-\frac{N-1}{2}}{=} h\left(\frac{N-1}{2}\right) + 2 \sum_{m=1}^{(N-1)/2} h\left(m + \frac{N-1}{2}\right) \cos m\omega = \sum_{m=0}^{(N-1)/2} a_m \cos m\omega \end{aligned}$$

其中, $a_0 = h\left(\frac{N-1}{2}\right)$; $a_m = 2h\left(m + \frac{N-1}{2}\right)$, $1 \leq m \leq \frac{N-1}{2}$ 。

可见, $H(\omega)$ 可以由 $h(n)$ 的后一半序列点的值来决定。

且 $H(\omega)$ 具有关于 $\omega = 0, \pi, 2\pi, \dots$ 偶对称的特性。

(2)偶对称: $h(n) = h(N-1-n)$, N 为偶数

$$\begin{aligned} H(\omega) &= 2 \sum_{k=N/2}^{N-1} h(k) \cos(k - \frac{N-1}{2})\omega \\ &\stackrel{k-(\frac{N}{2}-1)=m}{=} 2 \sum_{m=1}^{N/2} h(\frac{N}{2}-1+m) \cos(m - \frac{1}{2})\omega \\ &= \sum_{m=1}^{N/2} b_m \cos(m - \frac{1}{2})\omega \end{aligned}$$

其中, $b_m = 2h(m + \frac{N}{2} - 1)$, $1 \leq m \leq N/2$ 。

这表明, $H(\omega)$ 可以由 $h(n)$ 的后一半序列点的值来表征。

且 $H(\omega)$ 关于 $\omega = 0$, 2π 为偶对称, 关于 $\omega = \pi$ 为奇对称。

或者说 $H(\pi) = 0$, $H(z)$ 在 $z = -1$ 处必有零点。

(3)奇对称: $h(n) = -h(N-1-n)$, N 为奇数

$$\begin{aligned} H(\omega) &= \sum_{k=0}^{N-1} h(k) \sin \left[\left(k - \frac{N-1}{2} \right) \omega \right] = \sum_{k=0}^{N-1} -h(N-1-k) \sin \left[\left(k - \frac{N-1}{2} \right) \omega \right] \\ &= \sum_{k=0}^{N-1} -h(k) \sin \left[\left(k - \frac{N-1}{2} \right) (-\omega) \right] = -H(-\omega) \end{aligned}$$

将偶对称项两两合并:

$$\begin{aligned} H(\omega) &= 2 \sum_{k=(N+1)/2}^{N-1} h(k) \sin \left[\left(k - \frac{N-1}{2} \right) \omega \right] \quad h\left(\frac{N-1}{2}\right) = 0 \\ &= 2 \sum_{m=1}^{(N-1)/2} h\left(\frac{N-1}{2} + m\right) \sin m\omega = \sum_{m=1}^{(N-1)/2} c_m \sin m\omega \end{aligned}$$

其中, $c_m = 2h\left(\frac{N}{2} - 1 + m\right)$, $1 \leq m \leq (N-1)/2$ 。

这表明, $H(\omega)$ 可以由 $h(n)$ 的后一半序列点的值来表征。

且 $H(\omega)$ 具有关于 $\omega=0, \pi, 2\pi, \dots$ 奇对称的特性。

或者说 $H(0) = H(\pi) = H(2\pi) = 0$, $H(z)$ 在 $z = \pm 1$ 处必有零点。

(4)奇对称: $h(n) = -h(N-1-n)$, N 为偶数

$$H(\omega) = \sum_{k=0}^{N-1} -h(k) \sin \left[\left(k - \frac{N-1}{2} \right) (-\omega) \right] = -H(-\omega)$$

将偶对称项两两合并, 并令 $k - \frac{N-1}{2} = m$

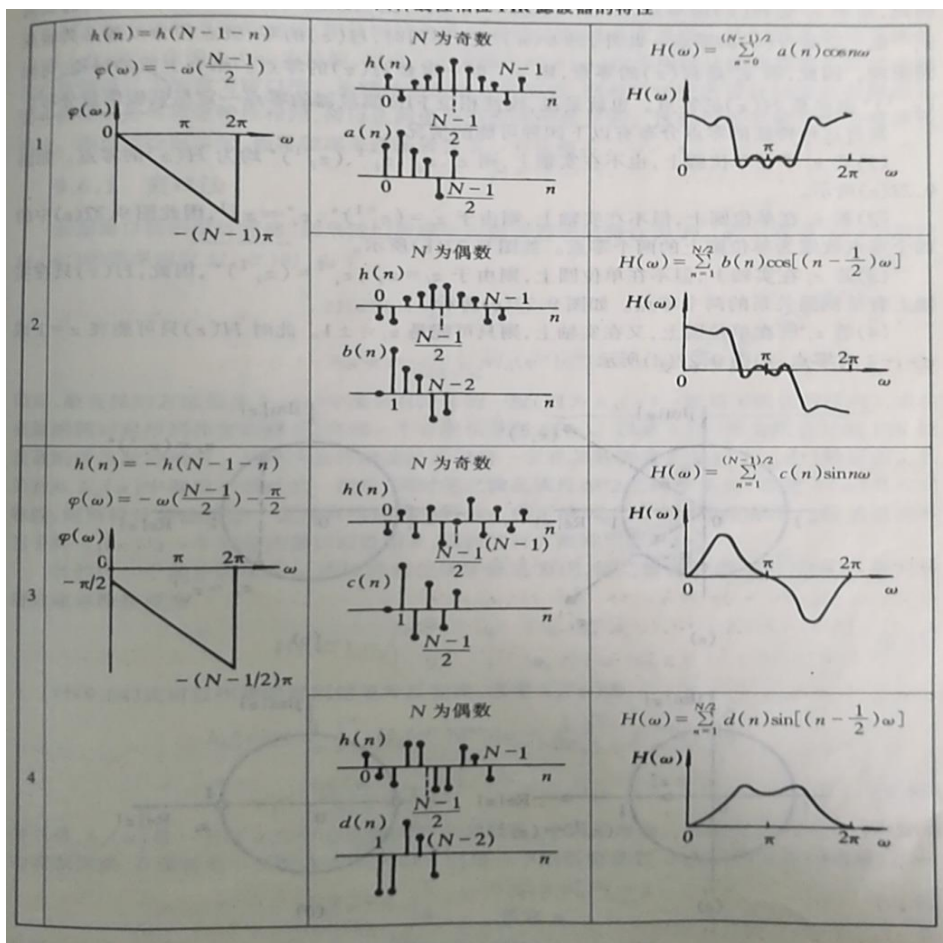
$$H(\omega) = 2 \sum_{k=0}^{N-1} h\left(k + \frac{N}{2} - 1\right) \sin \left[\left(m - \frac{1}{2} \right) \omega \right] = \sum_{k=1}^{N/2} d_m \sin \left[\left(k - \frac{1}{2} \right) \omega \right]$$

其中, $d_m = 2h\left(\frac{N}{2} - 1 + m\right)$, $1 \leq m \leq N/2$ 。

这表明, $H(\omega)$ 可以由 $h(n)$ 的后一半序列点的值来表征。

且 $H(\omega)$ 关于 $\omega = 0$, 2π 为奇对称, 关于 $\omega = \pi$ 为偶对称。

或者说 $H(0) = H(2\pi) = 0$, $H(z)$ 在 $z = 1$ 处必有零点。



第1种：适合构成低通、高通、带通、带阻滤波器；

第2种：适合构成低通、带通滤波器；

第3种：适合构成带通滤波器

第4种：适合构成高通、带通滤波器

可见，FIR滤波器的设计问题简化为由一个指定的期望频率响应函数 $H_d(\omega)$ 的FIR滤波器来确定 N 个系数 $h(n)$ ， $n = 0, 1, \dots, N-1$ 。

在实际使用时，根据需求选择其中合适的滤波器类型，并在设计时遵循其约束条件。

7.2 FIR数字滤波器设计

FIR数字滤波器设计的实质：寻求一个有限长序列作为**FIR**系统的单位脉冲响应 $h(n)$ ，使其频率响应 $H(e^{j\omega})$ 逼近期望的特性 $H_d(e^{j\omega})$ 。

两种逼近途径：

1、从**时域**角度逼近途径：**窗口法**

以 $H_d(e^{j\omega})$ 所对应的 $h_d(n)$ 为目标，构建一个有限长的 $h(n)$ 作为所设计滤波器的单位脉冲响应。

2、从**频域**角度逼近途径：**频率采样法**

使所设计的滤波器的频率响应在某些采样点处与理想特性相同，借以达到逼近理想特性的目的。

1、窗口法

$$H(e^{j\omega}) = \sum_{n=0}^{N-1} h(n)e^{-j\omega n} \quad h_d(n) = \frac{1}{2\pi} \int_{2\pi} H_d(e^{j\omega}) e^{j\omega n} d\omega$$

$h_d(n)$ 一般是无限长序列，可通过截取获得有限长序列，以此作为所设计的**FIR**滤波器的单位脉冲响应 $h(n)$ 。

如果在从 $h_d(n)$ 中截取有限长的一段时，同时使之**满足线性相位的约束条件**，即使 $h(n)$ **具有对称性**，则所设计的滤波器一定拥有线性相位特性。

由于从 $h_d(n)$ 中截取有限长一段的过程相当于将 $h_d(n)$ 与一个相应的**窗口函数**相乘，称这种方法为**窗口法**。

以一个截至频率为 ω_c 的线性相位**数字低通滤波器**为例，假定该滤波器的时延为 α ，则其理想的频率特性应为：

$$H_d(e^{j\omega}) = \begin{cases} e^{-j\alpha\omega}, & |\omega| \leq \omega_c \\ 0, & \omega_c \leq \omega \leq \pi \end{cases}$$

$$\begin{aligned} h_d(n) &= \frac{1}{2\pi} \int_{-\pi}^{\pi} H_d(e^{j\omega}) e^{j\omega n} d\omega \\ &= \frac{1}{2\pi} \int_{-\omega_c}^{\omega_c} e^{-j\alpha\omega} e^{j\omega n} d\omega = \frac{\sin[(n-\alpha)\omega_c]}{\pi(n-\alpha)} = \frac{\omega_c}{\pi} \text{Sa}[(n-\alpha)\omega_c] \end{aligned}$$

显然， $h_d(n)$ 是一个以 α 为中心呈偶对称的无限长、非因果序列。

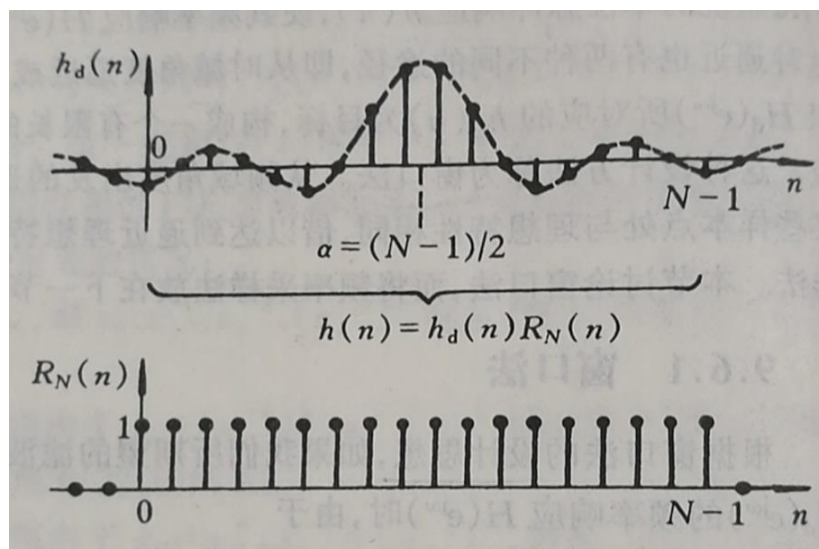
$$w_R(n) = \begin{cases} 1, & 0 \leq n \leq N-1 \\ 0, & \text{其它 } n \end{cases}$$

$$h(n) = h_d(n)w_R(n) = \begin{cases} h_d(n), & 0 \leq n \leq N-1 \\ 0, & \text{其它 } n \end{cases}$$

如果在截取时，保证满足线性相位约束条件，即保证 $h(n)$ 以 $(N-1)/2$ 偶对称，则必须要求 $\alpha = (N-1)/2$ 。

这样得到的 $h(n)$ 可作为所设计的滤波器的单位脉冲响应。

通过矩形窗截取 $h(n)$ 的过程如图所示：



一般来说，用于从 $h(n)$ 中截取的窗函数不一定是**矩形窗**。可以在截取的同时对序列 $h_d(n)$ 作一定的加权处理，以便获得对 $h_d(n)$ 理想幅频特性的更好逼近。

窗口法设计线性相位FIR滤波器的一般步骤:

- (1) 根据需要确定理想滤波器的特性 $H_d(e^{j\omega})$;
- (2) 由 $H_d(e^{j\omega})$ 求出 $h_d(n) = F^{-1}[H_d(e^{j\omega})]$;
- (3) 选择适当的窗口函数, 并根据线性相位的条件确定滤波器长度 N ;
- (4) 由 $h(n) = h_d(n)w_R(n)$, $0 \leq n \leq N-1$, 得出单位脉冲响应 $h(n)$;

对于此例, 可得到: $N = 2\alpha + 1$

$$h(n) = \frac{\omega_c}{\pi} \text{Sa}[(n - \frac{N-1}{2})\omega_c] = \frac{\sin[(n - \frac{N-1}{2})\omega_c]}{\pi(n - \frac{N-1}{2})}, \quad 0 \leq n \leq N-1$$

由于所得的 $h(n)$ 必然是以 $\frac{N-1}{2}$ 偶对称, 因此所设计的滤波器在 N 为奇数时, 属于第1种, N 为偶数时, 属于第2种。

窗函数对期望的频率响应 $H_d(e^{j\omega})$ 的影响:

$$h(n) = h_d(n)w_R(n) = \begin{cases} h_d(n), & 0 \leq n \leq N-1 \\ 0, & \text{其它 } n \end{cases}$$

$$H(e^{j\omega}) = \frac{1}{2\pi} H_d(e^{j\omega}) \otimes W_R(e^{j\omega}) \quad W_R(e^{j\omega}) \text{ 是矩形窗函数的频谱。}$$

这表明用窗口法设计的滤波器，其频率响应逼近理想特性的程度，取决于窗函数的特性。

$$W_R(e^{j\omega}) = \sum_{n=0}^{N-1} e^{-j\omega n} = \frac{1 - e^{-j\omega N}}{1 - e^{-j\omega}} = \frac{\sin(\omega N / 2)}{\sin(\omega / 2)} e^{-j\frac{N-1}{2}\omega}$$

令 $W_R(e^{j\omega}) = W_R(\omega)e^{j\varphi(\omega)}$ ，则其

幅度响应函数为: $W_R(\omega) = \frac{\sin(\omega N / 2)}{\sin(\omega / 2)}, \quad -\pi \leq \omega \leq \pi$

相位响应函数为: $\varphi(\omega) = \begin{cases} -\frac{N-1}{2}\omega, & \sin(\omega N / 2) \geq 0 \\ -\frac{N-1}{2}\omega + \pi, & \sin(\omega N / 2) < 0 \end{cases}$

若将 $H_d(e^{j\omega})$ 表示为 $H_d(e^{j\omega}) = H_d(\omega)e^{j\varphi(\omega)}$ ，则对理想低通滤波器有：

$$H_d(\omega) = \begin{cases} 1, & |\omega| \leq \omega_c \\ 0, & \omega_c < |\omega| \leq \pi \end{cases}$$

则：
$$H(e^{j\omega}) = e^{j\varphi(\omega)} \frac{1}{2\pi} \int_{-\pi}^{\pi} H_d(\theta) W_R(\omega - \theta) d\theta$$

所设计滤波器的幅度响应函数为：

$$H(\omega) = \frac{1}{2\pi} \int_{-\pi}^{\pi} H_d(\theta) W_R(\omega - \theta) d\theta$$

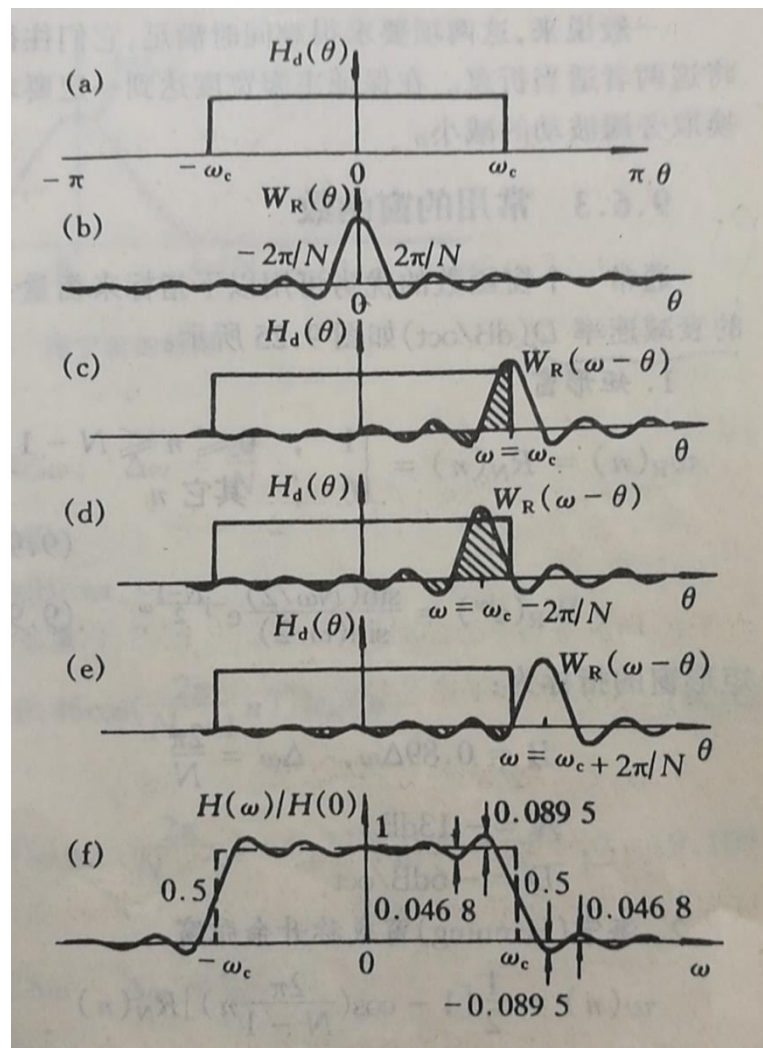
假定 N 充分大，使得 $\frac{\pi}{N} \ll \omega_c$ ，则可认为

$$W_R(\omega) = \frac{\sin(\omega N / 2)}{\sin(\omega / 2)} \approx \frac{\sin(\omega N / 2)}{\omega / 2} = N \text{Sa}\left(\frac{\omega N}{2}\right)$$

$$H(0) = 1 \quad H(\omega_c) = \frac{1}{2}$$

$$\omega = \omega_c - \frac{2\pi}{N}, \quad H(\omega) \text{取得最大值}$$

$$\omega = \omega_c + \frac{2\pi}{N}, \quad H(\omega) \text{取得最小值, 且为负值}$$

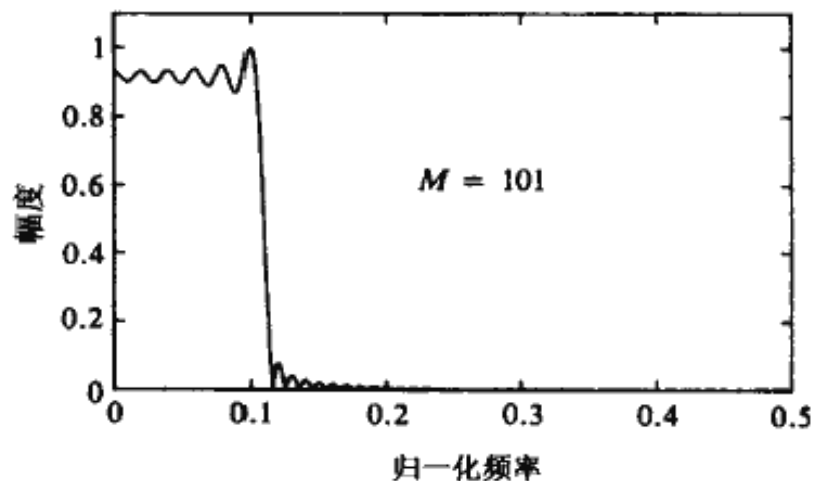
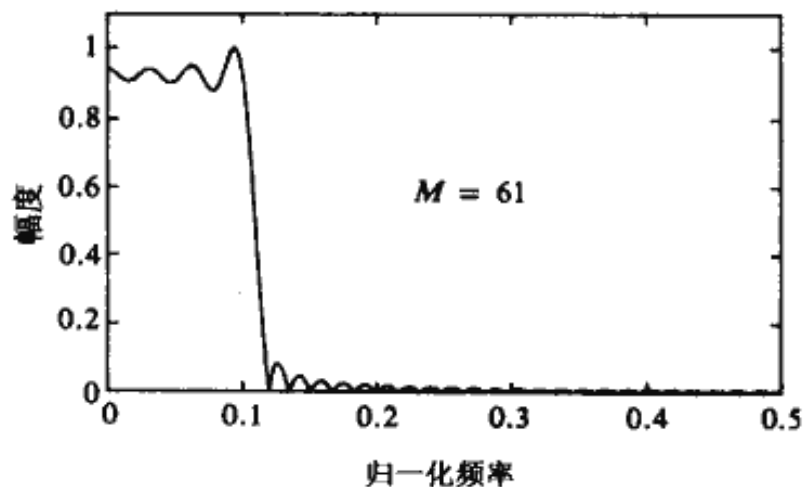


$H_d(\omega)$ 与矩形窗 $W_R(\omega)$ 的卷积过程

可见, $H(\omega)$ 是有肩峰和振荡的。这正是Gibbs现象。

因为 $H_d(e^{j\omega})$ 是以 2π 为周期的连续函数, $H_d(e^{j\omega}) = \sum_{n=-\infty}^{\infty} h_d(n)e^{-j\omega n}$ 正是它的傅里叶级数展开式。

$H(e^{j\omega}) = \sum_{n=0}^{N-1} h(n)e^{-j\omega n} = \sum_{n=0}^{N-1} h_d(n)e^{-j\omega n}$ 是截取了傅里叶级数展开式中的有限项之和, 因此必然出现**Gibbs**现象。随着截取长度 N 的增大, 只会使起伏向两边压缩, 其振荡的密度变大, 而最大肩锋始终保持**9%**。



矩形窗的低通滤波器:(a) $M = 61$ 和(b) $M = 101$

从频域角度看，造成这些影响的主要原因是：

(1) 由于窗函数频谱的主瓣有一定宽度，它使 $H(e^{j\omega})$ 产生了过渡带，而且过渡带的宽度主要取决于主瓣的宽度；

(2) 此外由于窗函数频谱的众多旁瓣使得 $H(e^{j\omega})$ 产生了肩峰和余振，这种起伏会使滤波器的阻带衰减减小。

(3) $H(e^{j\omega})$ 的起伏取决于窗函数频谱的旁瓣，窗函数频谱旁瓣越多，余振越多；旁瓣的相对值越大，肩峰越明显。

(4) 增大窗口的宽度 N ，只能缩小窗函数频谱的主瓣宽度，从而改善过渡带，但不会减小旁瓣的相对值，因此不能减少肩峰和余振。

要想更好地改善滤波器的频率特性，只能从改善窗函数的形状上找出路。

实际上，为了抑制在通带和阻带出现大振荡，使用的窗函数应该是锥形且衰落逐渐趋于0，而不是矩形窗函数那样陡变的。

综上所述，合乎要求的**窗函数的频率响应**应该符合以下标准：

- (1) 主瓣宽度应尽量窄，以期获得较陡峭的过渡带特性；
- (2) 旁瓣应尽量少，且其幅度与主瓣相比应尽可能小。也就是说，窗口频谱的能量应尽量集中于主瓣，借以减少肩峰与余振，从而增大阻带衰减。

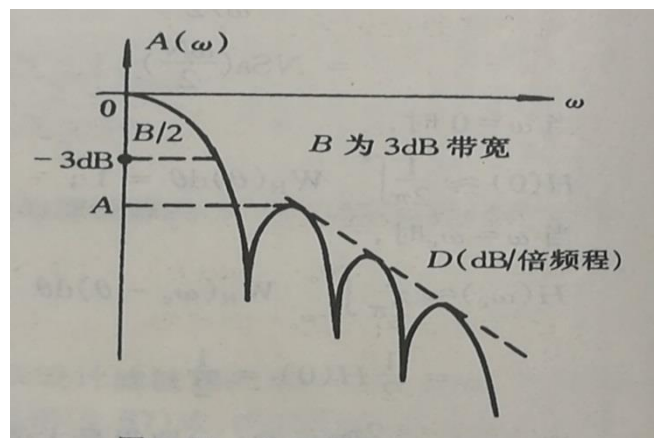
一般来说，这两项要求很难同时满足，它们之间往往是互相矛盾的。在**实际中采用的窗函数**常将这两者适当折衷。**在保证主瓣宽度达到一定要求的情况下，往往通过适当增大主瓣宽度来换取旁瓣波动的减小。**

衡量窗函数优劣的指标：

3dB带宽 B ；

最大旁瓣的衰减 $A(\text{dB})$ ；

旁瓣的衰减速率 $D(\text{dB/oct})$



常用窗函数:

1 矩形窗:

$$w_R(n) = R_N(n) = \begin{cases} 1, & 0 \leq n \leq N-1 \\ 0, & \text{其它}n \end{cases}$$

$$W_R(e^{j\omega}) = \frac{\sin(N\omega/2)}{\sin(\omega/2)} e^{-j\frac{N-1}{2}\omega}$$

矩形窗的指标:

$$B = 0.89\Delta\omega, \quad \Delta\omega = \frac{2\pi}{N}; \quad A = -13\text{dB}; \quad D = -6\text{dB/oct}$$

2 海宁窗（Hanning）或升余弦窗：

$$w(n) = \frac{1}{2} \left[1 - \cos\left(\frac{2\pi}{N-1}n\right) \right] R_N(n)$$

$$W(e^{j\omega}) = \frac{1}{2} W_R(e^{j\omega}) + \frac{1}{4} W_R(e^{j(\omega - \frac{2\pi}{N-1})}) + \frac{1}{4} W_R(e^{j(\omega + \frac{2\pi}{N-1})})$$

其中， $W_R(e^{j\omega})$ 为矩形窗频谱

$$W(\omega) = \frac{1}{2} W_R(\omega) + \frac{1}{4} W_R\left(\omega - \frac{2\pi}{N-1}\right) + \frac{1}{4} W_R\left(\omega + \frac{2\pi}{N-1}\right)$$

$$\text{当 } N \gg 1 \text{ 时, } W(\omega) \approx \frac{1}{2} W_R(\omega) + \frac{1}{4} W_R\left(\omega - \frac{2\pi}{N}\right) + \frac{1}{4} W_R\left(\omega + \frac{2\pi}{N}\right)$$

海宁窗的指标：

$$B = 1.44\Delta\omega, \quad \Delta\omega = \frac{2\pi}{N}; \quad A = -32\text{dB}; \quad D = -18\text{dB/oct}$$

3 汉明窗（Hamming）或称改进的升余弦窗：

$$w(n) = [0.54 - 0.46 \cos(\frac{2\pi}{N-1}n)]R_N(n)$$

$$W(\omega) = 0.54W_R(\omega) + 0.23W_R(\omega - \frac{2\pi}{N-1}) + 0.23W_R(\omega + \frac{2\pi}{N-1})$$

汉明窗的指标：

$$B = 1.3\Delta\omega, \quad \Delta\omega = \frac{2\pi}{N}; \quad A = -43\text{dB}; \quad D = -6\text{dB/oct}$$

4 布莱克曼窗（Blackman）或二阶升余弦窗：

$$w(n) = [0.42 - 0.5 \cos(\frac{2\pi}{N-1}n) + 0.08 \cos(\frac{4\pi}{N-1}n)]R_N(n)$$

$$W(\omega) = 0.42W_R(\omega) + 0.25W_R(\omega - \frac{2\pi}{N-1}) + 0.25W_R(\omega + \frac{2\pi}{N-1})$$

$$+ 0.04W_R(\omega - \frac{4\pi}{N-1}) + 0.04W_R(\omega + \frac{4\pi}{N-1})$$

布莱克曼窗的指标：

$$B = 1.68\Delta\omega, \quad \Delta\omega = \frac{2\pi}{N}; \quad A = -58\text{dB}; \quad D = -18\text{dB/oct}$$

5 凯塞窗 (Kaiser) :

$$w(n) = \frac{I_0(\beta \sqrt{1 - [1 - 2n/(N-1)]^2})}{I_0(\beta)} = \frac{I_0[\beta \sqrt{1 - (1 - n/\alpha)^2}]}{I_0(\beta)}$$

其中: $\alpha = (N-1)/2$; β 为波形系数; $I_0(x)$ 是零阶贝塞尔函数, 其定义为:

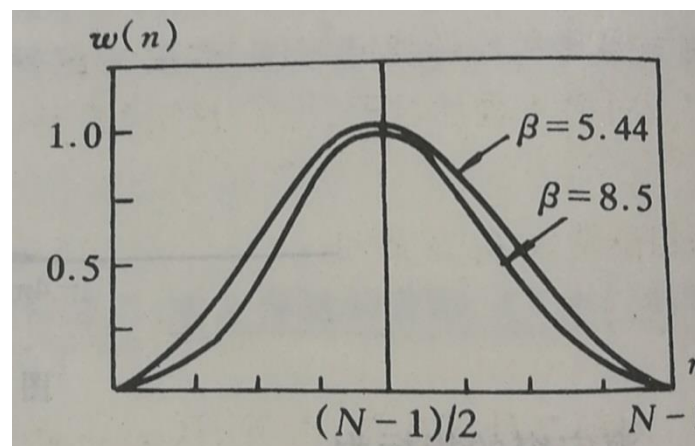
$$I_0(x) = 1 + \sum_{k=1}^{\infty} \left[\frac{1}{k!} \left(\frac{x}{2} \right)^k \right]^2$$

β 越大, 其频谱的旁瓣越小, 但主瓣宽度相应越宽。

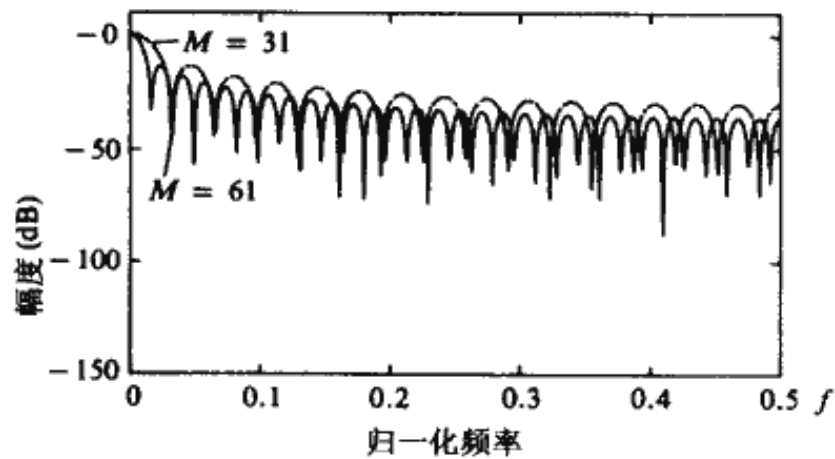
$\beta = 0$, 蜕变为矩形窗;

$\beta = 5.44$, 接近于汉明窗;

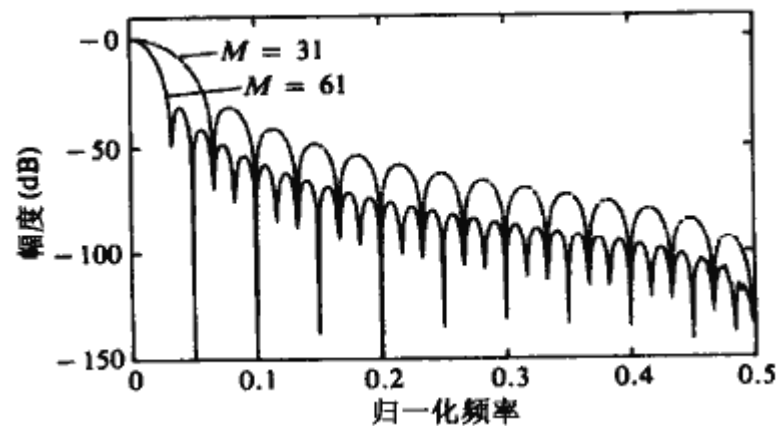
$\beta = 8.5$, 接近于布莱克曼窗。



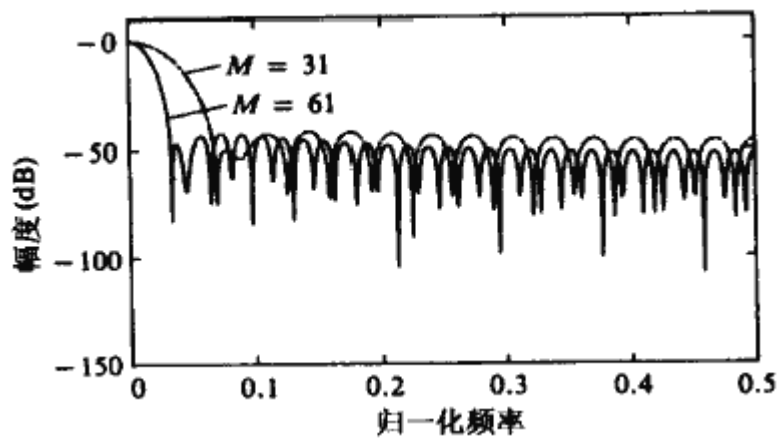
凯塞窗函数



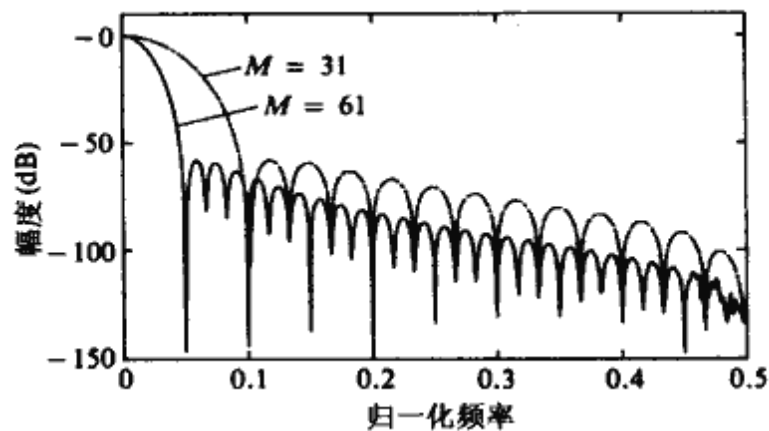
矩形窗的频率响应



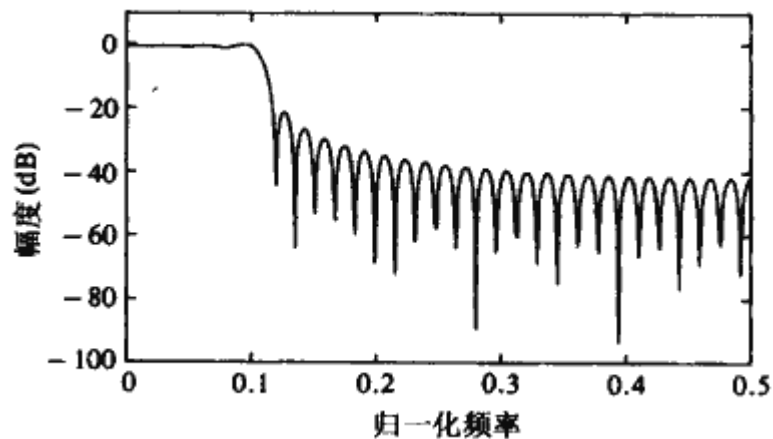
汉宁窗的频率响应



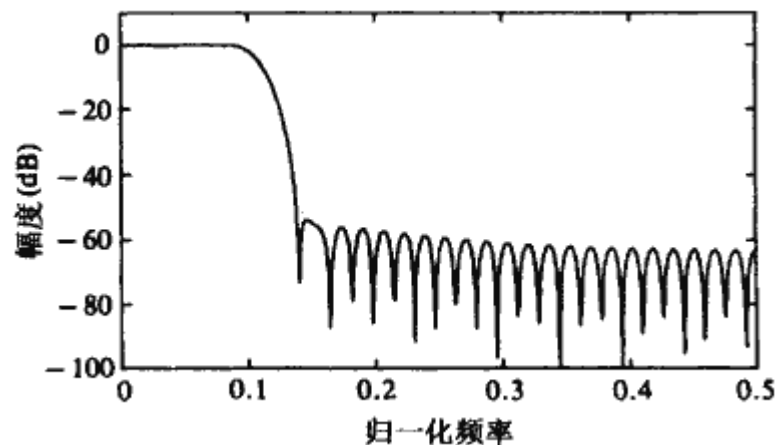
汉明窗的频率响应



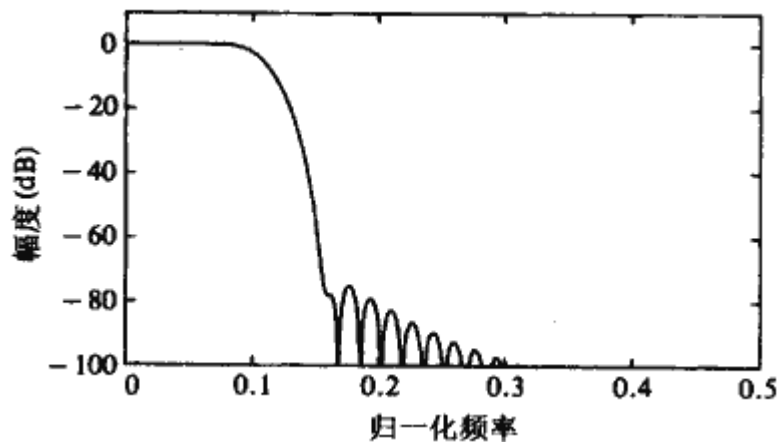
布莱克曼窗的频率响应



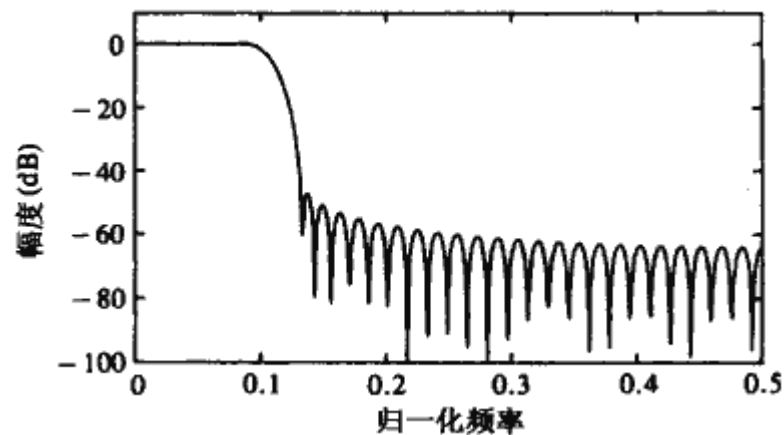
矩形窗的低通 FIR 滤波器 ($M = 61$)



汉明窗的低通 FIR 滤波器 ($M = 61$)



布莱克曼窗的低通
FIR滤波器 ($M = 61$)



$\alpha = 4$ 时 凯泽窗的低通
FIR 滤波器 ($M = 61$)

通过增大滤波器的过渡带，窗函数的确削弱了在频带边界处的振铃效果，并产生了更低的旁瓣。

2、频率采样法

从频域出发，使所设计的滤波器的频率响应在某些采样点处与理想特性相同，借以达到逼近理想特性的目的。

设设计的FIR滤波器的单位脉冲响 $h(n)$ 的离散傅里叶变换为 $H(k)$ ，理想滤波器的频率响应为 $H_d(e^{j\omega})$ ，在采样点处有：

$$H(k) = H_d(e^{j\omega}) \Big|_{\omega=2\pi k/N}$$

其它地方的频率响应由频域内插公式决定。

$$H(e^{j\omega}) = \frac{1 - e^{-j\omega N}}{N} \sum_{k=0}^{N-1} \frac{H(k)}{1 - e^{j2\pi k/N} e^{-j\omega}}$$

若用z变换表示，则有

$$H(z) = \frac{1 - z^{-N}}{N} \sum_{k=0}^{N-1} \frac{H(k)}{1 - W_N^{-k} z^{-1}}$$

其中， $W_N = e^{-j2\pi/N}$ $H(k) = H(z) \Big|_{z=W_N^{-k}} = H(e^{j2\pi k/N})$

如果直接对理想的频率响应采样，即令

$$H(k) = H_d(e^{j2\pi k/N})$$

当设计的滤波器是线性相位**FIR**滤波器时，必须保证 $H(k)$ 的幅度和相位满足线性相位的约束条件。令

$$H(k) = H_k e^{j\theta_k}$$

对第1种滤波器，由于 $H(\omega)$ 关于 $\omega=0, \pi, 2\pi$ 偶对称，应有：

$$H_k = H_{N-k} \quad \theta_k = -\frac{N-1}{2} \omega \Big|_{\omega=2\pi k/N} = -k\pi(1-\frac{1}{N})$$

对第2种滤波器，由于 $H(\omega)$ 关于 $\omega=\pi$ 奇对称，应有：

$$H_k = -H_{N-k} \quad \theta_k = -k\pi(1-\frac{1}{N})$$

对第3种滤波器，由于 $H(\omega)$ 关于 $\omega=0, \pi, 2\pi$ 奇对称，应有：

$$H_k = -H_{N-k} \quad \theta_k = -k\pi(1-\frac{1}{N}) - \frac{\pi}{2}$$

对第4种滤波器，由于 $H(\omega)$ 关于 $\omega=\pi$ 偶对称，应有：

$$H_k = H_{N-k} \quad \theta_k = -k\pi(1-\frac{1}{N}) - \frac{\pi}{2}$$

因此，所设计滤波器的频率响应为：

$$H(e^{j\omega}) = \sum_{k=0}^{N-1} H(k) \varphi(\omega - \frac{2\pi}{N} k)$$

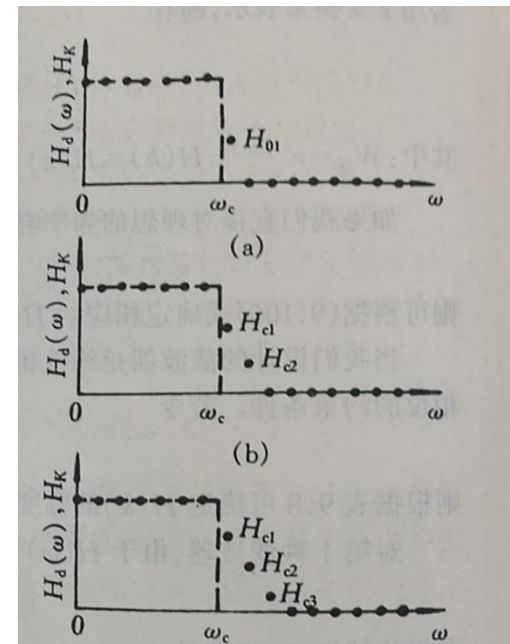
其中频域内插函数： $\varphi(\omega) = \frac{\sin(\omega N / 2)}{N \sin(\omega / 2)} e^{-j\frac{N-1}{2}\omega}$

由于频域内插函数 $\varphi(\omega)$ 正是矩形窗函数的频谱，因此当 $H_d(e^{j\omega})$ 是理想特性时，在其幅度特性的不连续点处会产生**Gibbs**现象。在变化较平缓的地方，逼近的效果会更好。

为了减轻**Gibbs**效应，常对理想特性加以修正，在其不连续点处加入过渡采样点，使设计的滤波器具有一定的过渡带。从而换得肩峰和起伏的减小及阻带衰减的增大。

表 9.9 过渡点数与阻带最小衰减的关系

过渡点数	阻带最小衰减(dB)
0	-20dB 左右
1	-44~-54dB 左右
2	-65~-75dB 左右
3	-85~-95dB 左右



增设过渡点

频率采样法设计线性相位FIR滤波器的一般步骤:

- (1) 根据设计要求选择滤波器种类;
- (2) 根据线性相位约束条件, 确定 H_k 和 θ_k , 进而得到 $H(k)$;
- (3) 由 $H(k)$ 得到所要求的 $h(n)$ 。

频率采样法设计FIR滤波器的优点:

可以直接从频域出发, 至少可保证所设计的滤波器在采样点处精确逼近理想特性。且设计方法简单, 适合于优化设计。但由于截止频率不一定恰好落在采样点上, 因而设计的滤波器截止频率不易精确保证。

7.3 基于FFT的信号滤波涉及的matlab函数

1. `y=wavred(file)`: 读取file所规定的.wav文件, 返回采样值放在向量y中。
`[y,fs,nbits]=wavred(file)`: 采样值放在向量y中, fs表示采样频率 (Hz), nbits表示采样位数。
`y=wavred(file,N)`: 读取前N点采样值放在向量y中。
`y=wavred(file,N1, N2)`: 读取从N1点到N2点的采样值放在向量y中。
2. `sound(x,fs,bits)`: 将x数据通过声卡转化为声音。
3. `w=boxcar(N)`: 产生长度为N的矩形窗。
`w=hanning(N)`: 产生长度为N的海宁窗。
`w=hamming(N)`: 产生长度为N的哈明窗。
`w=blackman(N)`: 产生长度为N的布莱克曼窗。
`w=kaiser(N,beta)`: 产生长度为N的凯泽窗。
4. `h=fir1()`: 窗函数法设计FIR滤波器。
5. `h=fir2()`: 频率采样法设计FIR滤波器。
6. `fftfilt()`: FIR滤波器实现滤波。